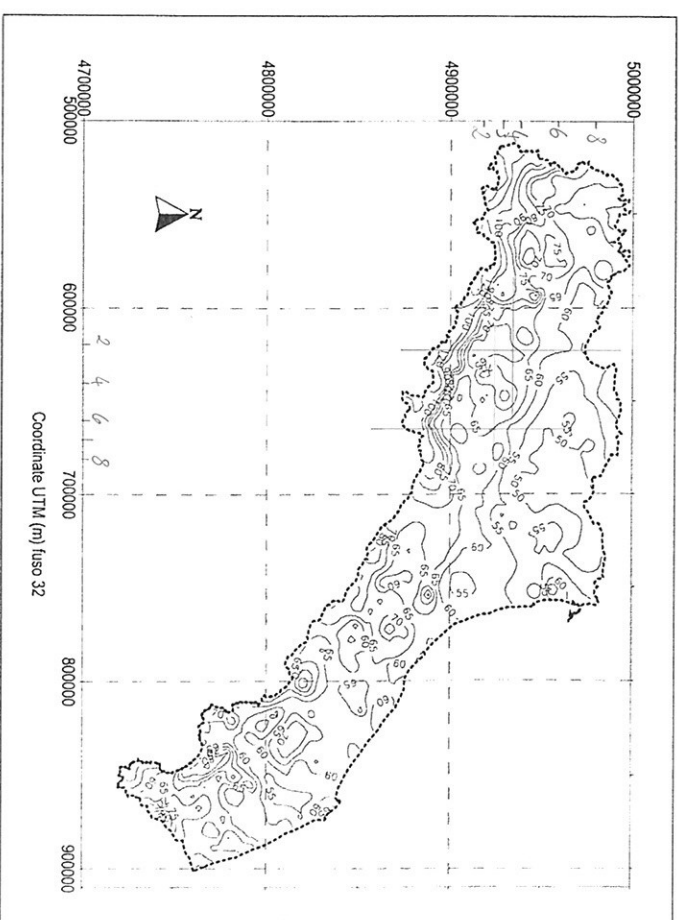


**TABELLA III - F. Taro chiuso a S. Quirico, estensione delle porzioni di bacino a caratteristiche di permeabilità ed uso del suolo omogenee (%)**

Uso del suolo	Permeabilità		
	I	II	III
1	14.2	13.0	5.8
2	0.0	0.0	0.1
3	22.8	30.6	8.6
4	0.4	0.9	0.6
5	0.9	0.7	1.3

(Figure 4, 5 e 6); da queste sono stati poi stimati, per ciascuno dei 33 bacini di interesse, i valori medi delle altezze di pioggia puntuali per ciascuna delle tre durate considerate,  $\mu'_{H,1}$ ,  $\mu'_{H,24}$  e  $\mu'_{H,1g}$  denominate nel seguito *altezze di pioggia puntuali di riferimento*. Sfruttando i dati disponibili per  $d=1$  h e 24 h, si è passati alla stima, in ciascuna stazione, degli indici  $\mu_i$  e  $\mu_d$  applicando la metodologia descritta in Bacchi et al. (1989) e ne sono state quindi tracciate le isolinee (Figure 7 e 8). Infine, si sono dedotti i valori medi di  $\mu_i$  e  $\mu_d$  sull'area di ciascun bacino,  $\mu'_i$  e  $\mu'_d$  indicati nel seguito



**Figura 6 - Isolinee delle medie dei massimi annuali delle altezze di pioggia di durata 1 giorno (mm).**

come valori puntuali di riferimento dell'intensità e della durata media dei nubifragi.

Le stime  $\hat{\lambda}^*$ ,  $\hat{\nu}^*$  e  $\hat{\lambda}_i$ ,  $\hat{\nu}_i^*$  dei parametri della curva di cresta regionale TCEV, necessarie all'applicazione del modello geomorfoclimatico, sono state desunte dagli studi di Franchini e Galeati (1996) e di Brath et al. (1997). Il primo ha mostrato che la regione geografica Romagna-Marche